

1) Explizites Eulerverfahren

Analog zum Jupyter Notebook der Vorlesung implementiert. Anstelle i wurde y verwendet, und x anstelle t .

```
6 def explizitEuler(xend, h, y0, f):
7     x = [0.]
8     y = [y0]
9     xalt = 0
10    yalt = y0
11
12    while x[-1] < xend-h/2:
13        # explizites Eulerverfahren
14        yneu = yalt + h*f(xalt, yalt)
15        xneu = xalt + h
16
17        # Speichern des Resultats
18        y.append(yneu)
19        x.append(xneu)
20
21        yalt = yneu
22        xalt = xneu
23    return np.array(x), np.array(y)
```

2) Mit Modellproblem testen

AWP $\left| \begin{array}{l} y'(x) = -4y(x) \quad x \in [0, 2] \\ y(0) = 1 \end{array} \right.$

Analytische Lösung bestimmen mit Formel aus AN2/AN3:

$$y(x) = e^{-a(x-x_0)} \cdot y_0 + e^{-ax} \int_{x_0}^x e^{at} g(t) dt \quad \text{für AWP mit } y(x_0) = y_0$$

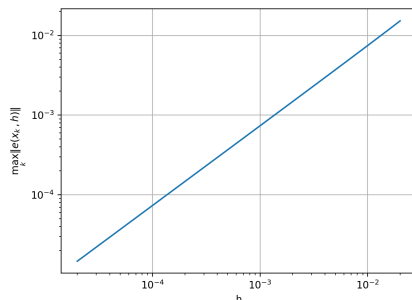
$$y(x) = e^{-ax} + e^{-ax} \int_0^x e^{at} \cdot 0 dt$$

$$y(x) = e^{-4x}$$

Berechnung und Visualisierung des absoluten Fehlers wird in 5) beschrieben.

3) Kontrolle der Konvergenzordnung

Mittels Code aus dem Projektklausurbeschrift



4) Implementation des impliziten Eulerverfahren

Analog zum Jupyter Notebook der Vorlesung und dem vorgegebenem Frame aus dem Praktikumsbeschrift implementiert. Unterschied zur Version aus der Vorlesung: Mittels Newton-Verfahren (aus SWOT bekannt) wird die Nullstelle der generischen Abbildung $G(s) = s - y_k - h \cdot f(x_k, s)$ gesucht. Sowohl die generische Abbildungsfunktion $G(s)$ als auch deren partielle Ableitung nach s werden in der Funktion definiert.

$$\partial_s G(s) = 1 - h \cdot \partial_s f(x_k, s)$$

```

39 def implizitEuler(xend, h, y0, f, df):
40     x = [0.]
41     y = [y0]
42
43     # Verfahrensfunktion für implizit Euler
44     def G(s, xk, yk):
45         return s - yk - h * f(xk + h, s)
46
47     # Partielle Ableitung nach s der Verfahrensfunktion
48     def dG(s, xk, yk):
49         return 1 - h * df(xk + h, s)
50
51     def newton(s, xk, yk, tol=1e-12, maxIter=20):
52         k = 0
53         delta = 10 * tol
54         while np.abs(delta) > tol and k < maxIter:
55             delta = G(s, xk, yk) / dG(s, xk, yk)
56             s -= delta
57             k += 1
58         return s
59
60     while x[-1] < xend - h / 2:
61         y.append(newton(y[-1], x[-1], y[-1], tol=1e-12, maxIter=20))
62         x.append(x[-1] + h)
63
64     return np.array(x), np.array(y)

```

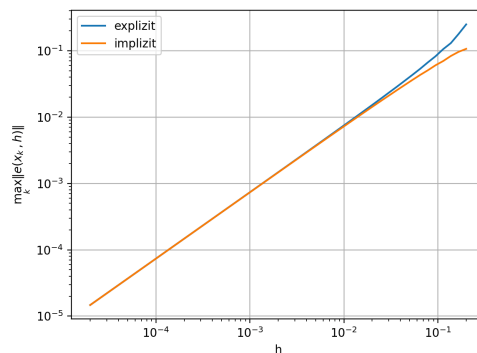
5) Kontrolle der Konvergenzordnung des impliziten Eulerverfahrens + Visualisierung absoluter Fehler

Code aus 3) so angepasst, dass sowohl implizite als auch explizite Konvergenzordnung im gleichen Diagramm dargestellt werden. Es ist zu erkennen, dass beide Verfahren eine Abweichung aufzeigen sobald das h zu gross gewählt wird.

```

66 # ----- Kontrolle der Konvergenzordnung -----
67 n = 10**np.linspace(1,5)
68 hs = 2/n
69 err_exp = []
70 err_imp = []
71 for h in hs:
72     xe, ye = explizitEuler(2, h, 1, f)
73     err_exp.append(np.linalg.norm(ye - ya(xe), np.inf)) # ya(xe) ist die exakte Lösung am Punkt xe
74
75     xi, yi = implizitEuler(2, h, 1, f, df)
76     err_imp.append(np.linalg.norm(yi - ya(xi), np.inf)) # ya(xi) ist die exakte Lösung am Punkt xi
77
78 plt.loglog(hs, err_exp, '-', label='explizit')
79 plt.loglog(hs, err_imp, '-', label='implizit')
80 plt.xlabel('h')
81 plt.ylabel(r'$\max_k |e(x_k, h)|$')
82 plt.legend()
83 plt.grid()
84 plt.show()

```



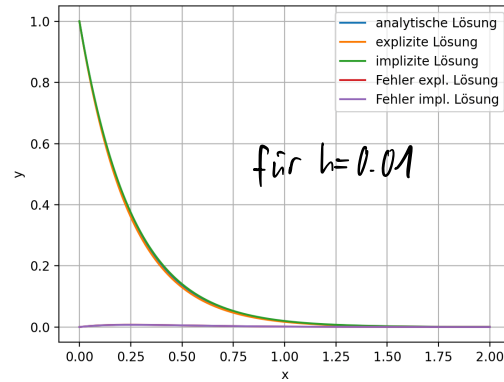
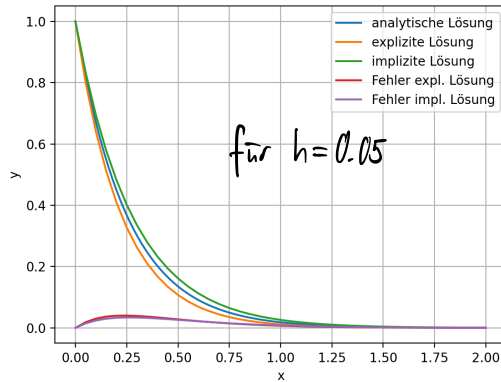
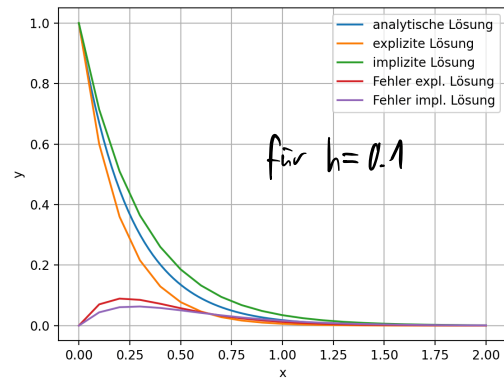
Um den absoluten Fehler zu visualisieren wurden die beiden Eulerverfahren für mehrere Werte von h durchgeführt, und anschliessend der Abstand zur analytisch berechneten Lösung ermittelt. Die absoluten Fehler sind gemeinsam mit der analytischen, impliziten und expliziten Lösung dargestellt. Es ist gut ersichtlich, dass der absolute Fehler der impliziten Lösung bei etwas grösseren h ($h=0.1$) kleiner ist als jener der expliziten Lösung.

Code:

```

69 # ----- Berechnung des absoluten Fehlers -----
70 xp = np.linspace(0,2,100)
71 xe, ye = explizitEuler(2, 0.1, 1, f)
72 xi, yi = implizitEuler(2, 0.1, 1, f, df)
73
74 plt.figure('absoluter Fehler')
75 plt.plot(xp, ya(xp), '-', label='analytische Lösung')
76 plt.plot(xe, ye, '-', label='explizite Lösung')
77 plt.plot(xi, yi, '-', label='implizite Lösung')
78 plt.plot(xe, np.abs(ye - ya(xe)), '-', label='Fehler expl. Lösung')
79 plt.plot(xe, np.abs(yi - ya(xi)), '-', label='Fehler impl. Lösung')
80 plt.xlabel('x')
81 plt.ylabel('y')
82 plt.legend()
83 plt.grid()
84 plt.show()

```



6) AWP mit den implementierten Verfahren berechnen

AWP $\left| \begin{array}{l} y'(x) = -x^2 \cdot \frac{1}{y(x)} \\ y(0) = -4 \end{array} \right.$

Analytische Lösung des AWP's bestimmen: Die DGL ist separierbar, das heißt sie kann in die Form $y' = f(x)g(y)$ zerlegt werden, mit $f(x) = -x^2$ und $g(y(x)) = \frac{1}{y(x)}$.

$$\frac{dy}{dx} = -x^2 \cdot \frac{1}{y}$$

$$y \, dy = -x^2 \, dx$$

$$\int_{-4}^y y \, dy = - \int_0^x x^2 \, dx$$

$$\frac{1}{2} y^2 \Big|_{-4}^y = - \frac{1}{3} x^3 \Big|_0^x$$

$$\frac{1}{2} y^2 - \frac{1}{2} \cdot 16 = - \frac{1}{3} x^3 - 0$$

$$y(x) = - \sqrt{16 - \frac{2}{3} x^3}$$

Kontrolle: $y(2) = - \sqrt{16 - \frac{2}{3} 2^3} = -4 \sqrt{\frac{2}{3}} \checkmark$

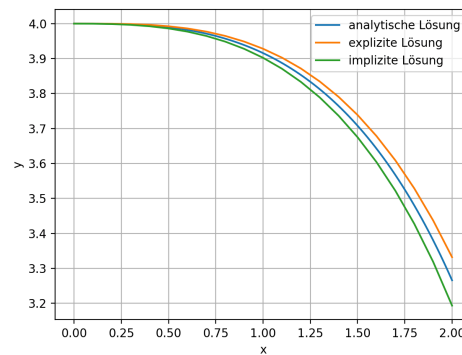
AWP mit beiden Verfahren berechnen und darstellen:

```

18 # ----- AWP mit beiden Verfahren berechnen und darstellen ----
19 xe, ye = explizitEuler(2, 0.1, 4, f)
20 xi, yi = implizitEuler(2, 0.1, 4, f, df)
21 xp = np.linspace(0, 2, 100)
22 plt.figure('Lösung des AWP')
23 plt.plot(xp, ya(xp), '-', label='analytische Lösung')
24 plt.plot(xe, ye, '-', label='explizite Lösung')
25 plt.plot(xi, yi, '-', label='implizite Lösung')
26 plt.xlabel('x')
27 plt.ylabel('y')
28 plt.legend()
29 plt.grid()
30 plt.show()

```

(hier mit $h=0.1$)

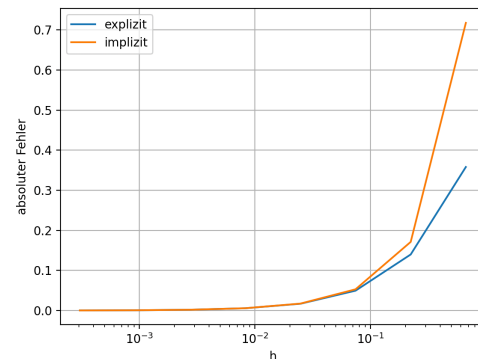


absoluten Fehler für verschiedene Schrittweiten berechnen und darstellen:

```

34 # ----- absoluten Fehler für verschiedene Schrittweiten berechnen und darstellen -----
35 hs = []
36 for j in np.linspace(1, 8):
37     hs.append(2/(3**j)) # die einzelnen h's berechnen, wie im Praktikumsbeschrieb vorgegeben
38
39 err_exp = []
40 err_imp = []
41 for h in hs:
42     xe, ye = explizitEuler(2, h, 4, f)
43     err_exp.append(np.linalg.norm(ye - ya(xe), np.inf)) # ya(xe) ist die exakte Lösung am Punkt xe
44     xi, yi = implizitEuler(2, h, 4, f, df)
45     err_imp.append(np.linalg.norm(yi - ya(xi), np.inf)) # ya(xi) ist die exakte Lösung am Punkt xi
46
47 plt.figure('Konvergenzordnung')
48 plt.semilogx(hs, err_exp, '-', label='explizit')
49 plt.semilogx(hs, err_imp, '-', label='implizit')
50 plt.xlabel('h')
51 plt.ylabel('absoluter Fehler')
52 plt.legend()
53 plt.grid()
54 plt.show()

```



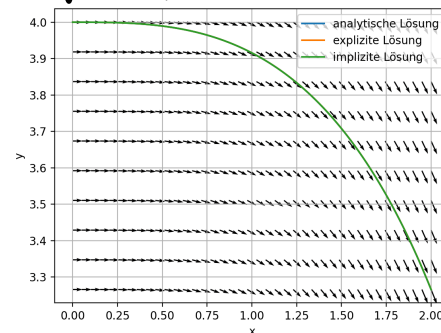
Visualisierung der Lösung im Richtungsfeld der Differentialgleichung:

Hierfür wurden die beiden unten markierten Zeilen aus dem Jupyter Notebook der Vorlesung übernommen, angepasst und in den Code zum plotten der Lösungen eingebettet.

```

59 # ----- Lösung im Richtungsfeld visualisieren, für N=3^8 -----
60 h = 2/(3**8)
61 xe, ye = explizitEuler(2, h, 4, f)
62 xi, yi = implizitEuler(2, h, 4, f, df)
63 xp = np.linspace(0, 2, 100)
64 plt.figure('Lösung im Richtungsfeld')
65 plt.plot(xp, ya(xp), '-', label='analytische Lösung')
66 plt.plot(xe, ye, '-', label='explizite Lösung')
67 plt.plot(xi, yi, '-', label='implizite Lösung')
68 xq, yq = np.meshgrid(np.linspace(0, 2, int(2/.05)), np.linspace(np.min(ya(xp)), np.max(ya(xp)), 10))
69 plt.quiver(xq, yq, np.ones_like(xq), f(xq, yq), angles='xy')
70 plt.xlabel('x')
71 plt.ylabel('y')
72 plt.legend()
73 plt.grid()
74 plt.show()

```



7) Unterschied zwischen explizitem und implizitem Verfahren

Der Unterschied besteht darin, dass sich die Steigung beim expliziten Verfahren an aktuellen Punkt orientiert, beim impliziten Verfahren jedoch jeweils am nächsten Punkt. Mit dem Richtungsfeld von oben und Schrittweite $h=0.5$ lässt sich dies sehr schön erkennen:

